

مورفولوژی و پتروگرافی چشمه‌های تراورتن‌ساز باداب سورت - شمال دامغان، ایران

محسن رنجبران

دانشگاه تهران، پردیس علوم، دانشکده زمین‌شناسی
ranjbaran@khayam.ut.ac.ir

دریافت: ۹۰/۸/۷ پذیرش: ۹۰/۹/۱۲

چکیده

چشمه‌های تراورتن‌ساز باداب سورت در استان مازندران (۶۸ کیلومتری شمال شهر دامغان) قرار دارد. در این منطقه دو چشمه با آب‌های کاملاً متفاوت از لحاظ رنگ، بو، مزه و دبی وجود دارد. چشمه اول با دبی بالاتر و آب شور است؛ چشمه دوم دبی کمتر، ترش مزه و دارای تهنشست آهن در خروجی آن است. با توجه به ویژگی‌های صحرایی و میکروسکوبی چهار لیتوفارسیس شامل لامینه‌های متبلور، انکوئیدها، توفا و گل‌های سیاه کربناته شناسایی شده. مورفولوژی‌های شناسایی شده شامل ۱- نهشت‌های تپه‌ای ، ۲- شکاف - پشت‌های -۳- آبشاری - سدی و ۴- لایه‌های جریانی با انکوئید است. مورفولوژی‌های رایج بیشتر از نوع حوضچه‌های پی در پی آبشاری- سدی است. نتایج داده‌های SEM درمورد لیتوفارسیس‌ها منجر به شناسایی بلورهای نمک قیفی شکل، بلورهای ژیپس و آراغونیت شد. خروج گاز دی اکسید کربن به طریق مکانیکی عامل اصلی نهشت‌های شدن تراورتن‌ها در مورفولوژی‌های آبشاری می‌باشد. ترکیب هیدروژئوشیمی آب چشمه از نوع قلایایی نمکی است. نوع تراورتن‌های منطقه از نوع میتوژن بوده که بیشتر از پدیده‌های جوی متأثر می‌شده است و دی اکسید کربن آن منشا جوی و فعالیت‌های زیستی در خاک حاصل شده است. با توجه به چشم اندازهای زیبای نهشت‌های تراورتن این محل را می‌توان به عنوان یک منطقه ژئوپارک معرفی نمود.

واژه‌های کلیدی: باداب سورت، تراورتن، مورفولوژی، پتروگرافی، ژئوپارک، توفا

مقدمه

کلسیتی، باعث به وجود آمدن لایه‌های یکنواختی از کربنات کلسیم متخلخل می‌گردد که ضخامت آن‌ها از چند سانتی‌متر تا چند متر متغیر است، و معمولاً با شیبی ملایم بر روی لایه‌های قدیمی‌تر قرار می‌گیرند [۲۰] تغییر شرایط رسوب‌گذاری می‌تواند باعث وقفه‌ای در تشکیل این لایه‌ها گردد که حاصل آن به وجود آمدن یک سطح جدایش بین لایه‌های متوالی تراورتن می‌باشد. با توجه به موقعیت خوب جغرافیایی و طبیعت زیبای منطقه نظری چشمه، کوه و جنگل این محل می‌تواند به عنوان یک ژئوپارک معرفی شود. چشمه‌های باداب سورت شامل دو چشمه با آب‌های کاملاً متفاوت از لحاظ رنگ، بو، مزه و دبی آب است. چشمه با دبی بیشتر دارای مزه شور و دارای استخری با قطر حدود ۷ متر و عمقی حدود ۱/۵ متر است (شکل ۱). چشمه دوم که دارای دبی بسیار کمتری است در چند ده متری جنوب غربی این چشمه قرار دارد، که دارای آب ترش مزه است. علت ترشی آب این چشمه به دلیل انحلال گاز دی اکسید کربن می‌باشد. با توجه به شوری و ترشی آب دو چشمه باید دو منشا جداگانه برای هر یک از چشمه در نظر گرفت.

تراورتن‌ها گروه بزرگی از نهشت‌های کربناته آب شیرین هستند که در بیشتر مناطق دنیا گسترش دارند [۱۵]. مجموعه زیبا و دیدنی چشمه‌های باداب سورت در ارتفاعات منطقه سورت و در شمال شرق شهرستان کیاسر در روستای اروست واقع شده است. مشابه این مورفولوژی زیبا را می‌توان در دیگر مناطق دنیا نظیر منطقه پاموكاله در دنیزیلی جنوب غرب ترکیه چشمه‌های آب گرم ماموت در امریکا و هانگ لونگ در شمال غربی ایالت سیچوان چین مشاهده کرد. باداب به معنی آب گازدار و سورت به معنی شدید می‌باشد. به طور کلی طی فرآیند تشکیل نهشت‌های تراورتن، آب‌های گرم از بین طبقات سنگ‌های کربناتی به ویژه سنگ آهک عبور می‌کنند و به دلیل اسیدی بودن، کربنات کلسیم موجود در این سنگ‌ها را حل کرده و به صورت محلول کربناتی و بی‌کربناتی با خود به سطح زمین منتقل می‌کنند. در سطح زمین به دلیل افت فشار، کاهش حرارت، آزاد شدن دی اکسید کربن و هم‌چنین تبخیر، بلورهای کلسیت تشکیل شده و به صورت لایه‌های نازکی بر روی یکدیگر رسوب می‌کنند [۶]. پایداری شرایط ذکر شده و تداوم تشکیل لایه‌های

فعال بوده و اکنون نیز این فعالیت ادامه دارد، قرار گرفته است. بیشتر چشمه‌های ناحیه اورست به نحوی در امتداد گسل و یا گسل‌های فرعی آن پراکنده‌اند. روند گسل‌ها NE-SW است. دیگر واحدهای رسوبی شامل سازند الیکا و مبارک است [۱۹] قدیمی‌ترین سنگ‌های ناحیه مورد مطالعه سنگ آهک‌های سازند مبارک می‌باشد (شکل ۳). سیماهای فرسایشی که بیشتر به فرم سطوح کارستی و برشی شده که با خاکزایی همراه است معمولاً در محل هایی که فعالیت چشمه‌ها متوقف شده و نهشته‌های قدیمی به جا گذاشته شده است مشاهده می‌شود. در بخش‌های مذکور سطوح و حفرات انحلالی معمولاً با مواد حاصل از فرسایش و ریزش از بخش‌های فوقانی پر شده است (شکل ۴ A,B [۲,۷]).

مورفولوژی نهشته‌های تراورتن‌ساز چشمه باداب سورت طبقه‌بندی‌های مختلفی بر اساس منشا، مورفولوژی و بافت تراورتن‌ها پیشنهاد شده است. پنت کاست [۱۵] تراورتن‌ها را بر اساس مورفولوژی و محیط رسوبی تشکیل آن‌ها به هشت گروه تقسیم کرد که شامل: ۱-تپه‌ها و مخروط‌ها -۲-شکاف-پشت‌های (Fissure-Ridges) -۳-نهشته‌های آبشاری Cascades -۴-نهشته‌های سدی Dam -۵-لایه‌های جریانی Stream crust with oncoids -۶-نهشته‌های با انکوئید Lake crust with oncoids -۷-نهشته‌های دریاچه‌ای Paludal deposit و -۸-رودایت‌های سیمانی Cemented rudite است. با توجه به مشاهدات صحرایی، مورفولوژی نهشته‌های تراورتنی در باداب سورت شامل: ۱-تپه‌ای -۲-شکاف-پشت‌های -۳-آبشاری -۴-لایه-های جریانی به همراه انکوئید است [۲] (شکل ۵).

مورفولوژی آبشاری: بخشی از رسوب‌گذاری تراورتن‌ها به شکل آبشارهای زیبا پی‌درپی دیده می‌شود. این نوع از تراورتن‌ها بر روی سطح دارای سرشاری‌های تندر اثر افت سرعت جریان و فشار آب به وجود آمده‌اند و در فواصل متغیری از دهانه چشمه آب توسعه پیدا کرده‌اند و حالت توده‌ای دارند. به علت وجود اکسیدهای آهن این تراورتن‌ها دارای تنوع رنگی جالبی هستند. در واقع این آبشارها دیوارهای سدها هستند که با استمرار آب ضخامت و توسعه می‌باشند (شکل ۶ A,B,C,D).

استمرار جریان آب‌های معدنی این چشمه‌ها طی سال‌ها، در شبیه‌پایین دست کوهستانی خود، صدها طبقه و دههای حوضچه بسیار زیبا به رنگ‌های نارنجی، زرد و قرمز در اندازه‌های مختلف پدید آورده است. در این تحقیق سعی شده است تا تقسیم‌بندی کاملی از نهشته‌های تراورتنی بر اساس مورفولوژی و لیتوژئی آن‌ها ارائه شود.

مواد و روش‌ها

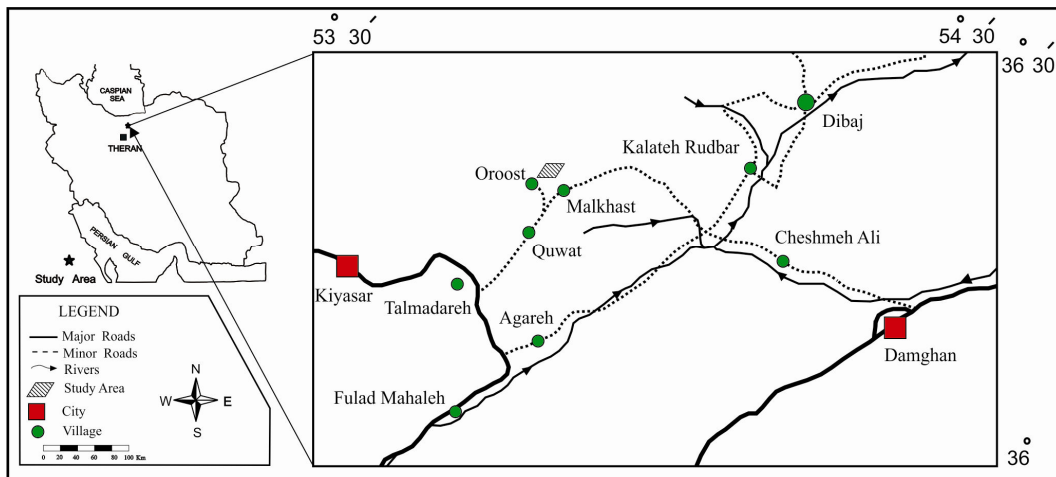
پی‌جوبی‌های صحرایی، مشاهده مورفولوژی تراورتن‌ها، نمونه‌برداری هدف‌دار اولین گام، و به دنبال آن بررسی‌های میکروسکوپی، سنگ‌شناختی و آنالیز گام‌های بعدی در این کار پژوهشی بوده است. به همین منظور تعداد ۳۱ مقطع نازک از تراورتن‌ها تهیه گردید. این نمونه‌ها شامل انواعی که در حال شکل‌گیری و نیز نمونه‌های قدیمی بوده است. رده‌بندی تراورتن‌ها بر اساس مورفولوژی و نیز با توجه به توصیف ماکروسکوپی و توصیف صحرایی استوار بوده است. هم‌چنین به منظور تعیین بافت میکروسکوپی، دیاژنر و نیز کانی‌شناسی تراورتن‌ها، تعداد ۱۵ نمونه از تراورتن‌ها در دانشگاه تربیت مدرس جهت مطالعه بافت و ساختار آن‌ها توسط میکروسکوپ الکترونی مدل (Philips XL30) جهت تهیه SEM مورد استفاده قرار گرفت.

موقعیت جغرافیایی و زمین‌شناسی منطقه

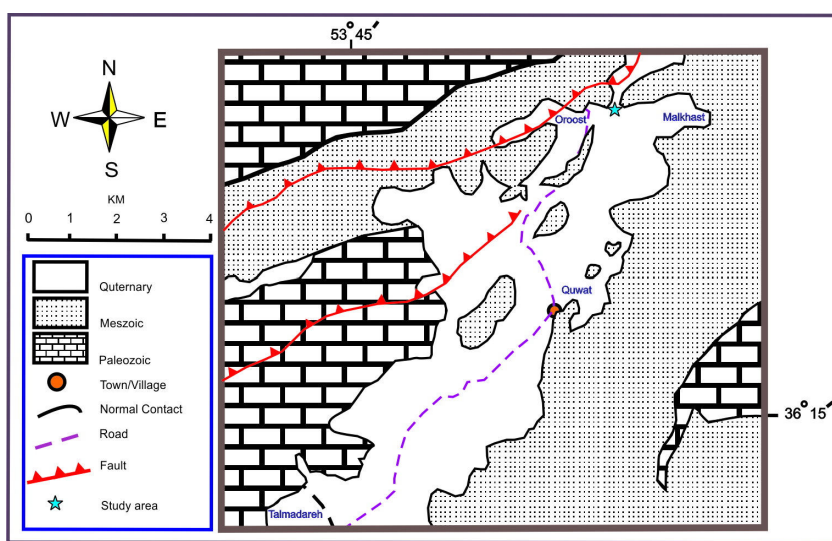
مجموعه زیبا و دیدنی چشمه‌های آب معدنی باداب سورت اروست از شگفت‌انگیزترین شاهکارهای طبیعت، در حدود ۱۱۵ کیلومتری شمال‌غرب دامغان و ۱ کیلومتری شرق روستای اروست و در مراتع این روستا واقع شده است. مختصات جغرافیایی ناحیه ۳۰° ۵۴' ۵۳" تا ۳۰° ۳۶' ۳۶" شمالی می‌باشد (شکل ۲). چشمه‌ها در ارتفاع ۱۸۴۰ متری سطح دریا واقع شده و فاصله تقریبی آن‌ها در ۲۷ کیلومتری جاده اصلی قرار دارد. تشکیل تراورتن و تظاهر چشمه‌های تراورتن‌ساز، با گسل‌های راندگی و نهشته‌های شمشک وابستگی دارد، به طوری که جریان‌های آبی از داخل نهشته‌های شمشک تظاهر پیدا کرده و رسوبات خود را بر روی این واحدها به جا گذاشته است. ناحیه مورد مطالعه در کمربند چین خورده البرز مرکزی که از نظر تکتونیکی جوان و پیوسته



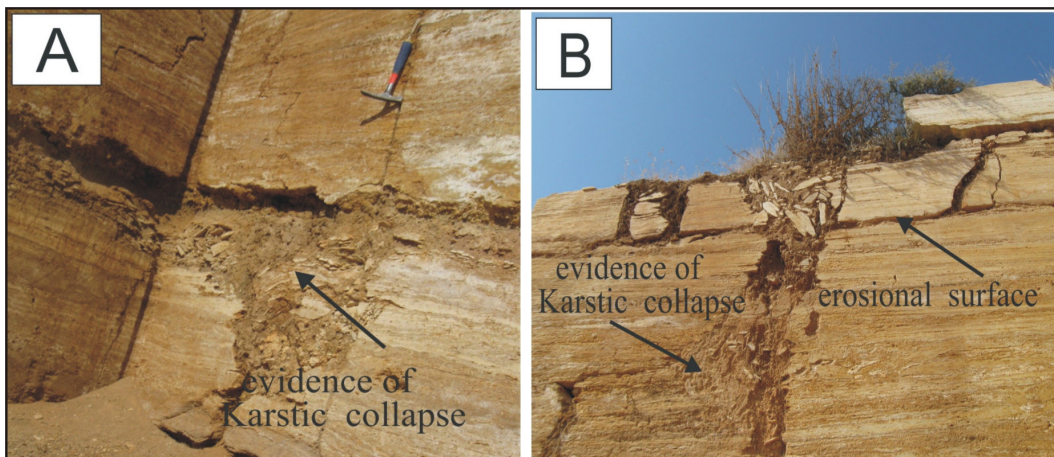
شکل ۱- نمایی از استخر طبیعی در مقابل دهانه چشمۀ با بیشترین دبی (قطر استخر حدود ۷ متر و عمق آن حدود ۱/۵ متر است).



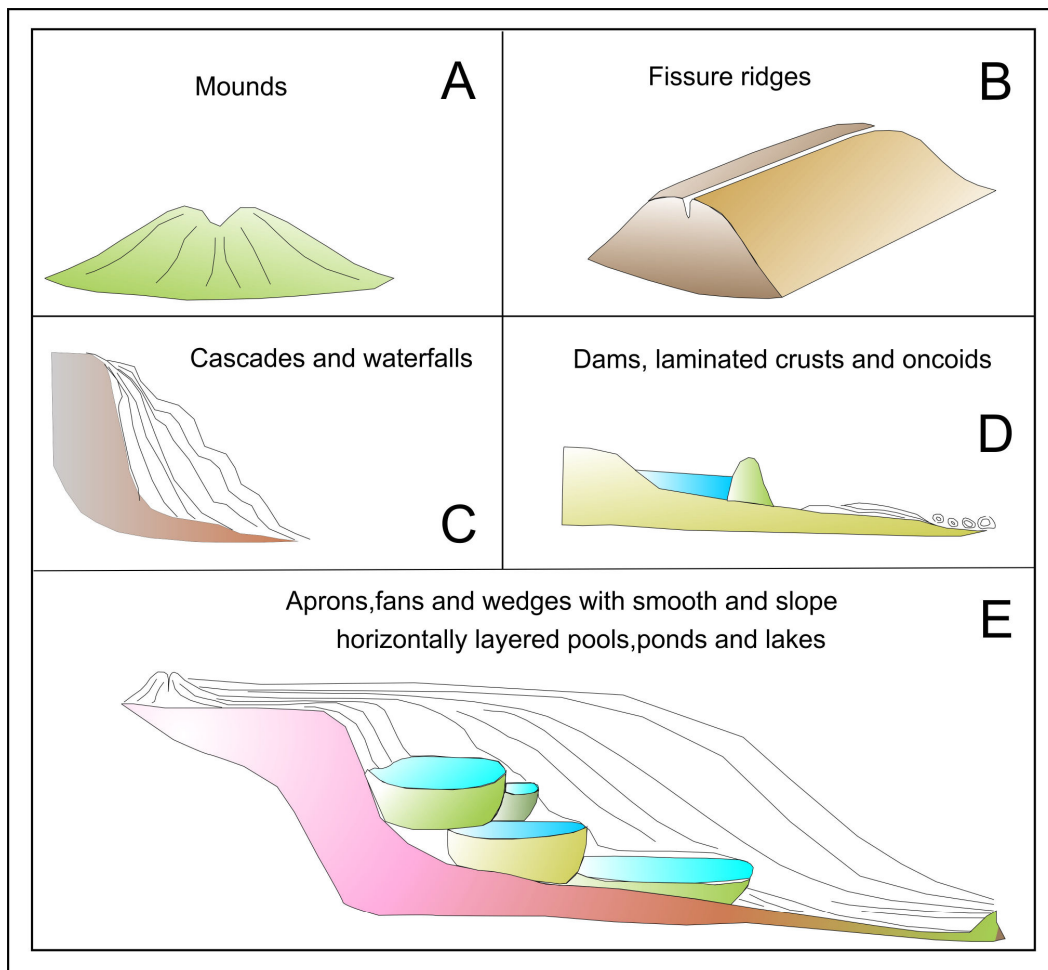
شکل ۲- موقعیت جغرافیایی چشمۀ‌های باداب سوت و راههای دسترسی به آن‌ها در منطقه مورد مطالعه



شکل ۳- نقشه زمین‌شناسی ساده شده که در آن موقعیت چشمۀ‌های تراورتن‌ساز مشخص شده است [۱۲]



شکل ۴- A) سطوح حاصل از انحلال و ایجاد برش‌های ریزشی کارستی و (B) سطوح فرسایشی ریزشی کارستی با افق خاک در معدن متروکه تراورتن در مجاورت چشمه



شکل ۵- نمای شماتیک از مورفولوژی‌های رایج ۱- تپه‌ای ۲- شکاف - پشتهدای ۳- آبشاری - سدی و ۴- لایه‌های جریانی به همراه انکونید [۵]

(A,B). لامینه‌ها به علت ناخالصی‌هایی از اکسیدهای آهن (لیمونیت و هماتیت) عمدتاً به رنگ قهوه‌ای کرم و یا زرد مایل به قهوه‌ای رخمنون دارند و این امر حاکی از مقادیر بالای آهن در آب چشمه می‌باشد. معمولاً تنهنشست ترکیبات آهن دار از آبهای خارج شده از چشمehا سریع تر از تنهنشست کربنات‌ها می‌باشد. بنابراین غلظت آهن در تراورتن‌ها کاهش پیدا می‌کند که این همزمان با کاهش غلظت عناصر دیگر می‌باشد. لامیناسیون‌ها نشان دهنده وقfe یا افت جریان سیال می‌باشد که شواهدی از تغییرات دوره‌ای در نرخ رسوب‌گذاری محسوب می‌شوند [۱۳]. در نهشت‌های مذکور برتری پدیده‌های فیزیکوشیمیایی بیشتر از پدیده‌های بیوشیمیایی است.

پتروگرافی و دیاژنز تراورتن‌ها

چهار نوع لیتوفارسیس با توجه به مورفولوژی‌های رایج در مقیاس روی زمین و ویژگی‌های پتروگرافی شناسایی شد [۱۴]. لیتوفارسیس‌های اصلی شامل: ۱) قشرهای متبلور (۲) انکوئیدها (۳) گل‌های سیاه کربناته (۴) توفا و (۵) کربناتی و (۶) توفا کربناتی و لامینه‌های تیره رنگ میکرایتی است.

۱- لیتوفارسیس پوسته یا قشر متبلور: این نوع لیتوفارسیس عمدتاً در اطراف دهانه چشمeha تشکیل می‌شود و بیشتر به صورت تناوب لامینه‌های روشن از کلسیت اسپارایتی و لامینه‌های تیره رنگ میکرایتی است سریع از جریان‌های با سرعت زیاد روی شیب‌های صاف، حاشیه‌ها و دیواره‌های قائم تراس‌ها و دیواره حوضچه‌ها است. ضخامت این لیتوفارسیس از چند سانتی‌متر تا چند ده سانتی‌متر بالغ می‌شود. بلورهای کلسیت و آراغونیت به فرم رشته‌ای و یا تیغه‌ای عمود بر لامینه‌های میکرایتی رشد کرده است. منظره این بلورها که عمود بر لامینه‌ها است به صورت بادیزی می‌باشد و در نور پلازیره بلورها خاموشی موجی از خود نشان می‌دهد (شکل ۱۲). لازم به ذکر آراغونیت با معرف فیژل سیاه رنگ می‌شود.

۲- لیتوفارسیس نوع انکوئیدی: دانه‌های پوشش‌دار در نهشت‌های تراورتنی بسیار رایج بوده [۸، ۹ و ۱۰]. انکوئیدها با کمک جلبک‌های سیانو باکتری به صورت کنکرسیونی در می‌آید. در برش ماکروسکوپی و میکروسکوپی انکوئیدها تجمع لامینه‌های میکرایتی متحdalمرکز مشاهده می‌شود

مورفولوژی نوع شکاف- پشته‌ای: از یک شکاف مرکزی که تراورتن‌های نواری در آن رسوب کرده‌اند و تراورتن‌های شب‌دار مجاور آن تشکیل شده‌اند به وجود آمده است. شکل‌گیری این مجموعه بدین صورت است که آبهای اشباع از کربنات کلسیم از شکاف مرکزی بالا آمده و موجب رسوب تراورتن در دیواره شکاف و نیز در طرفین آن می‌شوند و در نتیجه یک پشته خطی ایجاد می‌شود. این مورفولوژی بیشتر در نهشت‌های قدیمی‌تر مشاهده می‌شود (شکل ۷). اگر نرخ جریان آبی که از شکاف مرکزی بالا می‌آید، زیاد باشد، پشته ایجاد شده ارتفاع کم ولی عرض زیاد خواهد داشت [۱] ولی اگر نرخ جریان آب کم باشد، رسوب‌گذاری تراورتن در اطراف شکاف مرکزی بیشتر شده و در نتیجه ارتفاع پشته زیاد و عرض آن کم خواهد بود (شکل ۷).

مورفولوژی نوع تپه‌ای: این مورفولوژی به واسطه جریان آب چشمeh روى سطوح شب‌دار که قادر مانع در سطح بوده ایجاد می‌شود (شکل ۸).

مورفولوژی نوع لایه‌ای جریانی با انکوئید: این مورفولوژی روی سطوح شب‌دار به دنبال مورفولوژی نوع تپه‌ای قرار داشته و روی آن با تراس‌های کوچک تزیین شده و انکوئیدها در روی آن پراکنده است (شکل ۹-۱۰).

مورفولوژی پشته‌های انکوئیدی: این مورفولوژی در محدوده حوضچه‌ها، سدها و فروفتگی‌های که با آب پر شده است تشکیل می‌شود. انکوئیدهای مذکور دارای اندازه‌های مختلف و شکل‌های متنوع می‌باشد (شکل ۱۰-۱۱). شکل اولیه هسته، شکل نهایی این انکوئیدها را سبب می‌شود (شکل ۱۰-۱۱، C, D). محل تشکیل انکوئیدها بیشتر مربوط به حوضچه‌ها و بخش‌های گودی که رسوب‌گذاری صورت می‌گیرد محدود می‌شود. شکل (D-۱۰) تجمع این انکوئیدها را در گفیکی از حوضچه‌ها را نشان می‌دهد. شکل‌گیری ساختمان‌های متحdalمرکز انکوئیدها ناشی از تلاطم آب در حوضچه می‌باشد. اندازه و شکل این انکوئیدها متنوع می‌باشد. شکل ۱۰ نشان دهنده محل تشکیل انکوئیدها می‌باشد [۱۶].

ساختمان‌های موجود در مورفولوژی‌های تراورتنی منطقه شامل ساخت نواری ساده، نوار موجی که معمولاً هم زمان با تشکیل نهشت‌ها شکل گرفته‌اند، می‌باشد (شکل ۱۱-۱۲).

سولفور است مشاهده می‌شود. تماس گل‌های مذکور با هوا باعث اکسید شدن و تغییر رنگ و بو این فاسیس می‌شود. به همراه ترکیبات ذکر شده گل‌های سیاه کربناته، کلرور سدیمی که به صورت محلول در گل حضور دارد در پی تبخیر شدن آب به صورت شوره روی گل به جا گذاشته می‌شود (شکل ۱۴). (A,B-14).

که معمولاً در اطراف هسته تجمع یافته و شروع به رشد می‌کند. در شکل ۱۳ بافت ماکروسکوپی و میکروسکوپی انکوئیدها نشان داده شده است.

-**لیتوفاسیس گل‌های سیاه کربناته:** این نوع فاسیس در نزدیک دهانه چشمه مشاهده می‌شود و بیشتر به صورت لجن سیاه رنگ که حاوی مواد آلی، فسفر و کمی

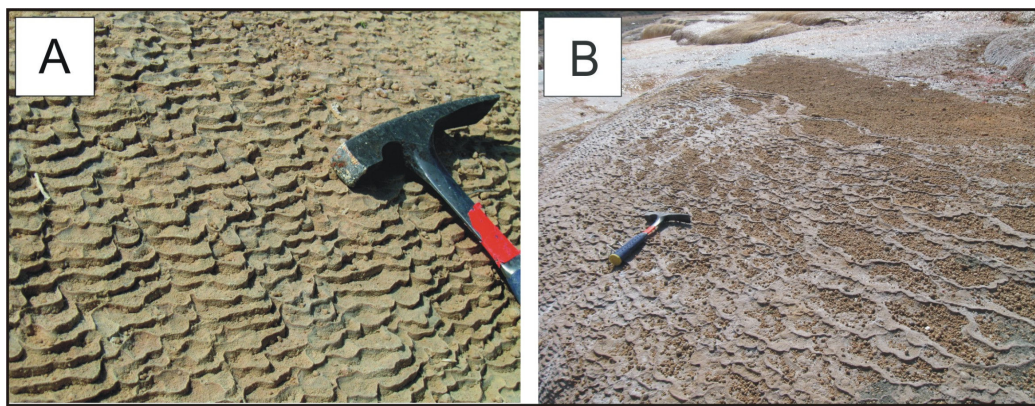


شکل ۶: A,B,C,D مورفولوژی آثارهای پی در پی با حوضچه‌های متنوع. در این نوع مورفولوژی، نهشته‌های تراورتن به رنگ‌های زرد، قرمز و نارنجی مشاهده می‌شود. این مورفولوژی‌ها از نظر شکل، رنگ و اندازه متفاوت بوده و به سمت‌های ریزش آب امتداد می‌یابد

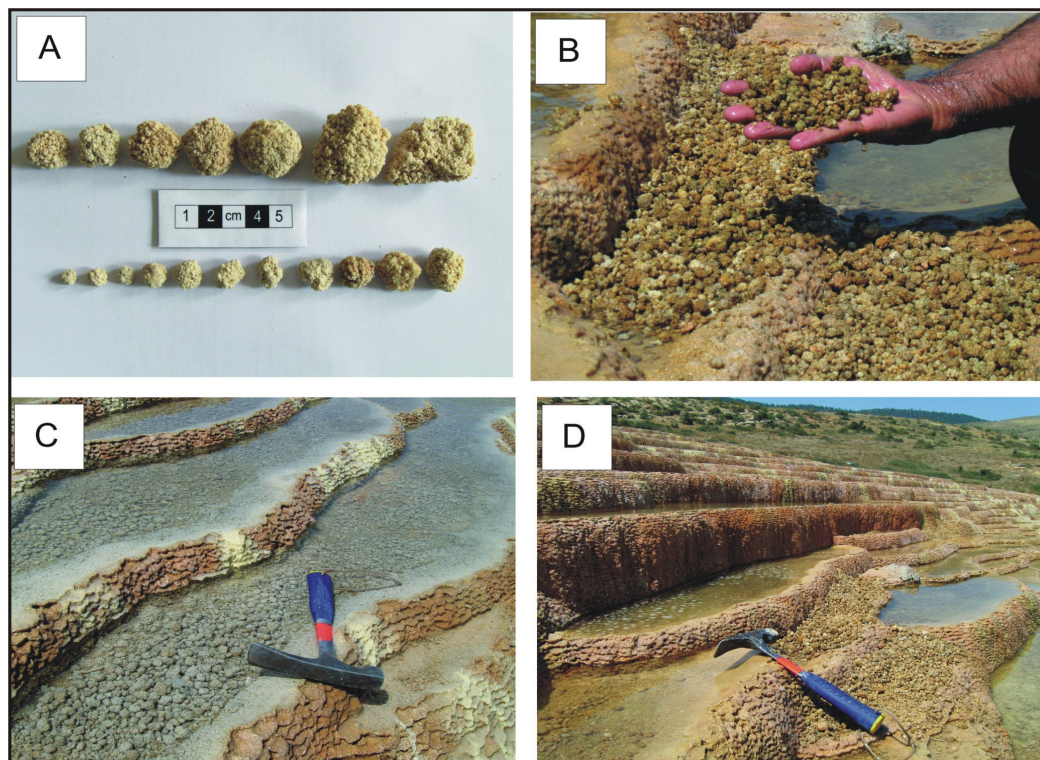


شکل ۷- مورفولوژی نوع شکاف-پشت‌های، در بخش‌های قدیمی منطقه مشاهده می‌شود

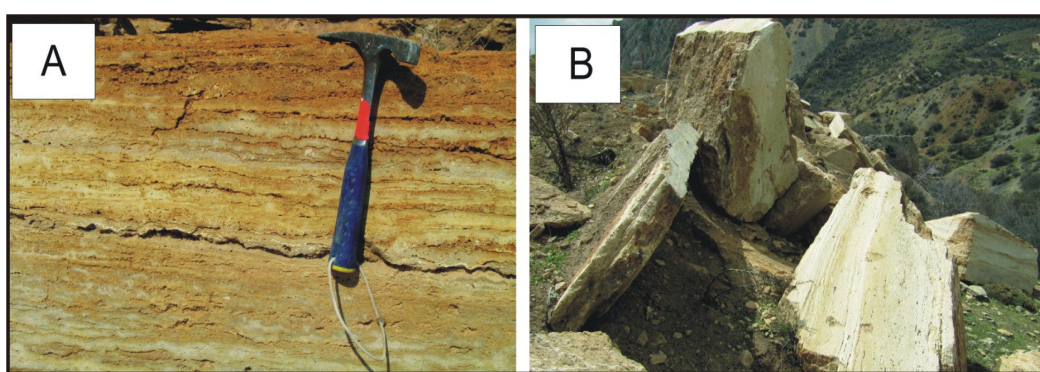
شکل ۸- مورفولوژی نوع تپه‌ای با چشمه دارای آب ترش



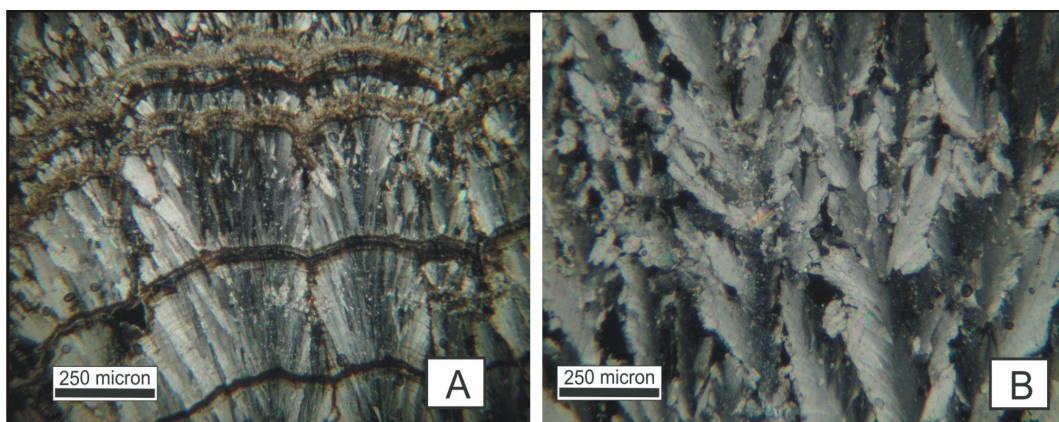
شکل ۹- A-تراس‌های کوچک در سطح مورفولوژی لایه‌ای جریانی. B- مورفولوژی نوع لایه‌ای جریانی با انکوئید



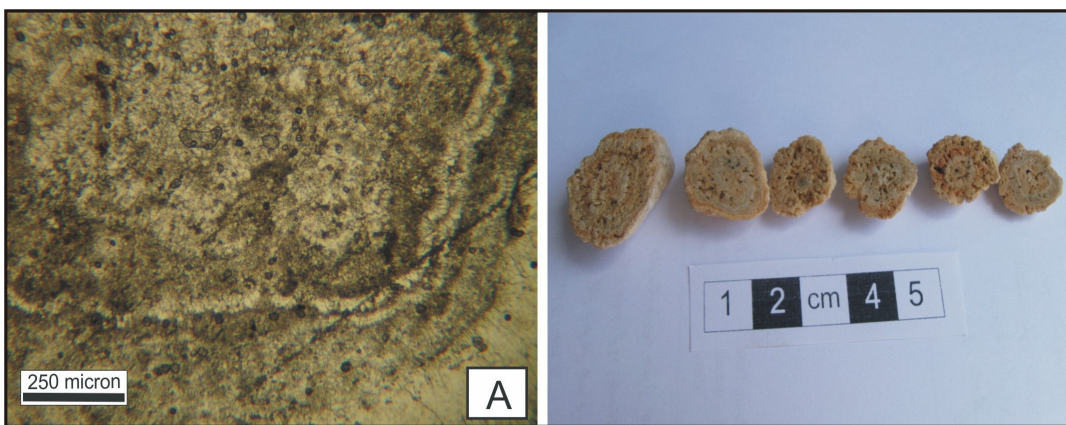
شکل ۱۰- (A) تصویر انکوئیدهای مختلف حوضجه‌های چشم‌باداب سوت به تغییر اندازه دانه‌ها توجه شود (B) نمای نزدیکی از تجمع انکوئیدها . C و (D) نمایش چگونگی توزیع انکوئیدها در حوضجه‌ها طول چکش ۲۸ سانتی‌متر است.



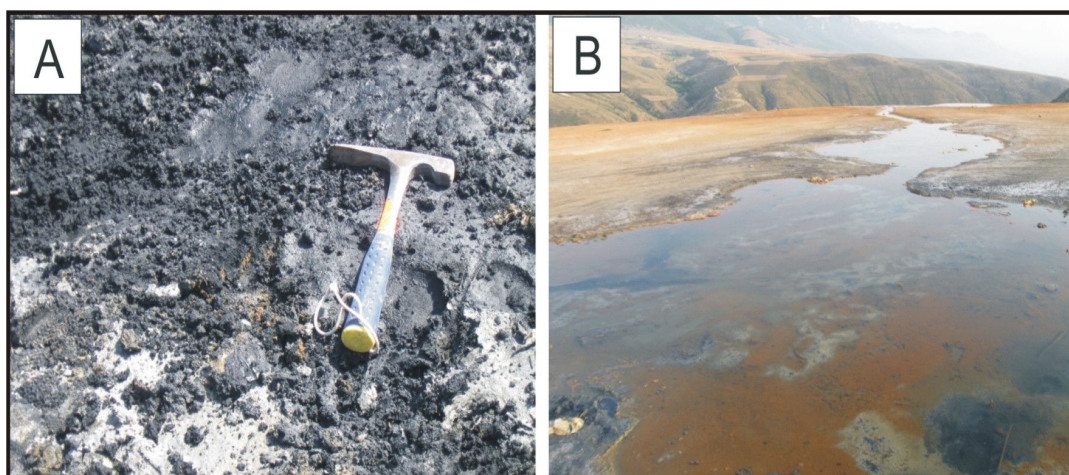
شکل ۱۱- ساختهای نواری، نوار موجی موجود در بلوک‌های استخراج شده در محدوده معدن متروکه.



شکل ۱۲- A- لیتوفاسیس لامینه‌ای یا قشر متبلور. در این لیتوفاسیس تنابع لامینه‌های افقی روی یکدیگر و بلورهای عمود شعاعی مشاهده می‌شود. B- بلورهای آراغونیت به صورت شعاعی و باد بزنی مشاهده می‌شود.



شکل ۱۳- A- بافت میکروسکوپی انکوئید. در بافت میکروسکوپی مذکور تنابع لامینه‌های متحدم‌مرکز از میکرات و کلسیت اسپاریتی حول هسته‌ای که ساختمان مبهمی دارد دیده می‌شود. B- بافت میکروسکوپی تعدادی از انکوئیدها در برش‌های عبور داده شده از مرکز. در هسته انکوئیدها آثار جلیک‌ها به خوبی مشاهده می‌شود.

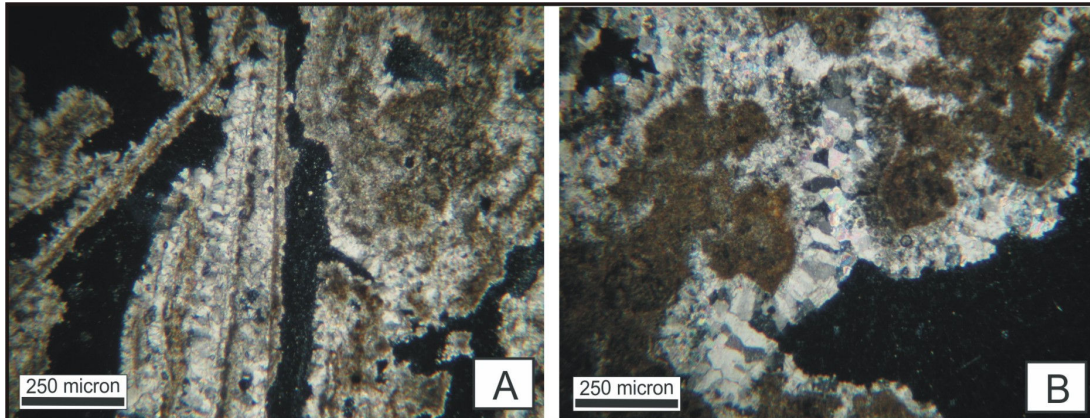


شکل ۱۴- A- رخنمون گل‌های سیاه کربناته که در اثر تبخیر آب‌های حوضچه- B- حوضچه دارای گل سیاه کربناته در مقابل دهانه چشم. رخنمون یافته است. طول چکش ۲۸ سانتی‌متر است.

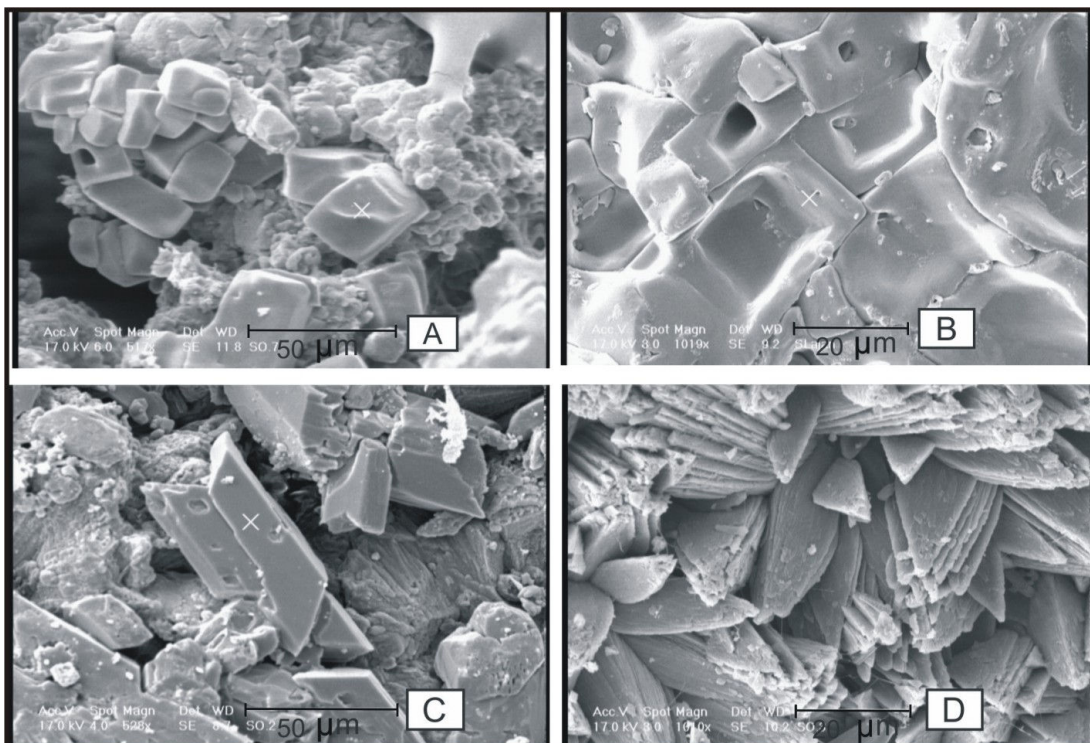
لیتوفاسیس‌ها بلورهای نمک طعام به فرم‌های مکعبی با سطوح انحلال یافته و فرم قیفی شکل و نیز بلورهای ژپس و آراغونیت مشاهده شد (شکل- ۱۶- A,B,C,D).

نتایج آنالیزهای EDAX نیز حضور بلورهای مذکور را تایید می‌کند (شکل- ۱۷-).

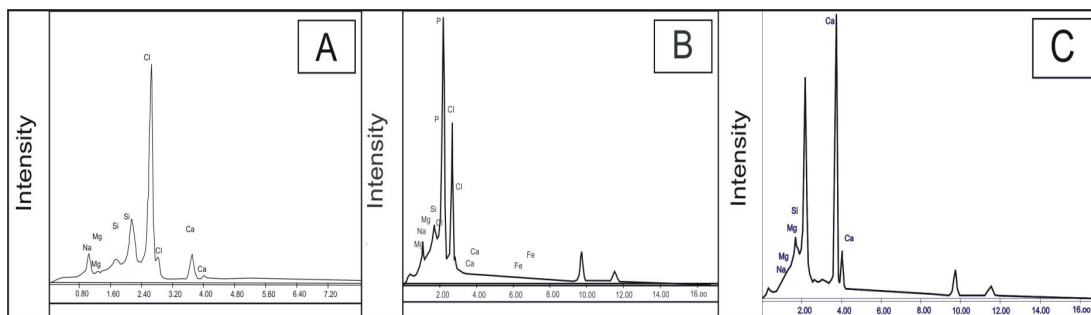
۴- لیتوفاسیس توفا: در این لیتوفاسیس خرده‌های تراورتنی و انکوئیدها به یکدیگر جوش خورده و بافت برشی را نشان می‌دهد (شکل- ۱۵- A,B). این لیتوفاسیس در نهشته‌های قدیمی و جدید قابل مشاهده است. برای تعیین دقیق‌تر بافت و ترکیب شیمیایی لیتوفاسیس SEM ها خصوصاً فاسیس‌های گل کربناته سیاه از نتایج EDAX و آنالیز استفاده شد. در مشاهدات SEM در



شکل ۱۵- A,B- لیتوفاسیس توفا. در اثر سیمانی شدن خرده‌ای لیتوکلاست و انکوئیدها حاصل شده است.



شکل ۱۶- تصاویر SEM از بلورهای هالیت به صورت مکعبهای با زوایای حل شده (A) و ساختمان قیفی شکل (B) بلورهای آراغونیت (C) و بلورهای ژپس (D).



شکل ۱۷- نتایج آنالیز EDAX از بلورهای هالیت(A) ، ژپس(B) و آرگونیت(C).

حفره‌های کارستی در میان نهشته‌های تراوerten ایجاد می‌شود. با شروع مجدد جریان آب اشباع از کربنات کلسیم نسل جدیدی از نهشته‌های تراوerten بر روی خاک برجا رسوب‌گذاری می‌کند و حفره‌های کارستی نیز با نهشته‌های اسپلوتوم پر می‌شوند، لذا در محدوده چشمۀ معدن غیر فعالی که دارای متروکه حفرات کارستی و افق‌های خاک مشاهده می‌شود که می‌توان آن‌ها را به رخدادهای بعد از رسوب‌گذاری نسبت داد. مرفوولوژی‌های متعددی در طی سال‌ها در منطقه ایجاد شده است که سنگ بستر آن-ها سازند سیلیسی کلاستیک شمشک است که نمی‌تواند تامین کننده کربنات کلسیم لازم برای تشکیل نهشته‌های تراوerten باشد. لذا با توجه به واحدهای زیرین شمشک که کربناته بوده (سازند الیکا و مبارک) منشا اصلی و مهم برای این امر بوده است. با توجه به جریان مداوم و پیوسته آب مرفوولوژی آبشار-سدی از زیباترین و فراوان‌ترین مرفوولوژی‌های ناحیه است و می‌تواند به عنوان یک پتانسیل ژئوپارک معروفی نمود. فراوان‌ترین مرفوولوژی از نوع حوضچه‌های پی درپی و آبشاری است. ترکیب شیمی آب چشمۀ قلیایی شور است. تراوerten‌ها از نظر منشا در طبیعت در دو گروه قرار می‌گیرند که شامل میتوژن meteogene و ترموژن thermogene است [۱۶]. نوع اول بیش‌تر متأثر از پدیده‌های جوی است و دی‌اکسید کربن آن منشا جوی و نیز فعالیت‌های زیستی در خاک می‌باشد. در نوع دوم فعالیت‌های حرارتی مثل زمین‌گرمایی و منبع مانع مانع نقش بیش‌تری دارد.

بحث و نتیجه‌گیری

تراوerten‌های ناحیه بادآب سورت در منطقه فعال تکتونیکی البرز قرار گرفته است. با توجه به گسل‌های فراوان و فعال که باعث ایجاد و خروج چشمۀ‌های متعددی می‌شود می‌توان به ژئومورفوولوژی شکاف-پشتۀ‌ای اشاره نمود. عموماً این مرفوولوژی در ارتباط با فعالیت‌های ساختمانی می‌باشد. به همین منظور واژه تراویتونیک که به معنی کاربرد نهشته‌های تراوerten در تکتونیک فعال است [۱۱] به کار گرفته شده است. اگر نرخ جریان آبی که از شکاف مرکزی بالا می‌آید، زیاد باشد، پشتۀ ایجاد شده ارتفاع کم ولی عرض زیاد خواهد داشت، ولی اگر نرخ جریان آب کم باشد، رسوب‌گذاری تراوerten در اطراف شکاف مرکزی بیش‌تر شده و در نتیجه ارتفاع پشتۀ زیاد و عرض آن کم خواهد بود. این مرفوولوژی در پهنه‌های همپوشانی بین قطعات گسلی قرار گرفته و از کشش‌های موضعی ناشی شده‌اند [۱].

ادامه یافتن جریان آب چشمۀ سبب رسوب‌گذاری تراوerten روی افق‌های خاک می‌شود. تغییر رژیم آبدهی که احتمالاً فصلی بوده است باعث تغییر میزان مواد رنگی مانند Al,Fe,Mg و غیره می‌گردد و لایه‌های متعدد با رنگ‌های مختلف را تشکیل داده است دوره‌های که دبی چشمۀ کاسته و گاهی قطع می‌شده به صورت تشکیل افق‌های خاک قابل مشاهده است. رخدادهای پس از رسوب‌گذاری تراوerten‌ها بیش‌تر به صورت دیاژنز بلافالصه پس از رسوب‌گذاری آغاز می‌شود و بیش‌تر به صورت کاهش تخلخل در نتیجه سیمانی شدن می‌باشد. در زمان‌هایی که جریان آب قطع می‌شود، تراوerten‌ها در معرض هوادگی و فرسایش قرار می‌گیرند و در نتیجه افق‌های خاک برجا به وجود می‌آید. در ادامه و با تاثیر آبهای جوی و فرورو،

- travertines in active fault studies. *Journal of Structural Geology*, 21: 903–916.
- [12] Jalilian, M., Afsharian Zadeh, A. M., and Ghomashi, A (1992) Kiyasar Geological Map. 1:100000 Geological Survey of Iran.
- [13] Kano, A., Matsuoka, J., Kojo, T. and Fujii, H (2003) Origin of annual laminations in tufa deposits, southwest Japan. *Palaeogeography, Palaeoclimatology, Palaeoecology*, 191: 243–262.
- [14] Özkul, M., Varol, B., and Alçıcek, M. C., (2000) Depositional environments and petrography of Denizli travertines. *Mineral Research. Exploration. Bulletin*, 125: 13–29.
- [15] Pentecost, A (1995) Geochemistry of carbon dioxide in six travertine-depositing water of Italy. *Journal of Hydrology*. 167: 263–278.
- [16] Pentecost A (2005) Travertine. Springer-Verlag, p 445.
- [17] Salvati, R., and Sasowsky, I. D (2002) Development of collapse sinkhole in areas of groundwater discharge. *Journal of Hydrology*, 264: 1–11.
- [18] Sant'Anna, L.G., and Riccomini, C (2004) The Paleocene travertine system of the Itaborai' basin, Southeastern Brazil. *Journal of South American Earth Sciences*, 18: 11–25.
- [19] Stöcklin, J., and Setudehnia, A (1991) Stratigraphic Lexicon of Iran. Geological Survey Iran Report, 18: 1–376.
- [20] Vázquez-Urbez, M., Arenas, C., Sancho, C., Osa car, C., Auqué, L., and Pardo, G (2010) Factors controlling present-day tufa dynamics in the Monasterio de Piedra Natural Park (Iberian Range, Spain): depositional environmental settings, sedimentation rates and hydrochemistry. *International Journal. Earth Science (Geol Rundsch)*, 99: 1027–1049.

منابع

- [۱] تقی پور، ک.، عباسی، م. ر (۱۳۸۷) تراویتونیک: کاربرد نهشته های تراویرتن در تکتونیک فعال، بیست و چهارمین گردهمایی علوم زمین، صفحه ۵۷، ۱۳۸۴
- [2] Billi, A., Valle, A., Brilli, M., Faccenna, C., and Funiciello, R (2006) Fracture-controlled fluid circulation and dissolutional weathering in sinkhole-prone carbonate rocks from central Italy. *Journal. Struct. Geology*, 29: 385–395.
- [3] Chafetz, H. S., and Folk, R. L (1984) Travertines: depositional morphology and the bacterially constructed constituents. *Journal of Sedimentary Petrology*, 54: 289–316.
- [4] Chafetz, H. S., and Meredith J. C (1983) Recent travertine pisolithes (pisoids) from southeastern Idaho, U.S.A. 450–455. In: Peryt TM (ed) Coated Grains. New York, Springer-Verlag, p 655.
- [5] Della Porta, G., Barilaro, F., and Ripamonti, M (2011) Non-Marine Carbonates - Facies, Diagenesis and Porosity Development, AAPG Annual Convention and Exhibition, Houston, Texas, USA, April 10–13, 2011
- [6] Drysdale, R. N (1999) The sedimentological significance of hydropsychid caddis-fly larvae (Order: Trichoptera) in a travertine-depositing stream: Louie Creek, Northwest Queensland, Australia. *Journal of Sedimentary Research*, 69: 145–150.
- [7] Faccenna, C., Soligo, M., Billi, A., De Filippis, L., Funiciello, R., Rossetti, C., and Tuccimei, P (2008) Late Pleistocene depositional cycles of the Lapis Tiburtinus travertine (Tivoli, Central Italy): Possible influence of climate and fault activity. *Global and Planetary Change*, 63:299–308.
- [8] Folk, R. L., and Chafetz, H. S (1983) Pisoliths (pisoids) in Quaternary travertines of Tivoli, Italy', 474–487.In: Peryt, TM (ed.) Coated Grains. New York, Springer-Verlag, P 655.
- [9] Guo, L. and Riding, R. E (1998) Hot-spring travertine facies and sequences, Late Pleistocene, Rapolano Terme, Italy. *Sedimentology*, 45:163–180.
- [10] Guo, L. and Riding, R. E (1992) Aragonite laminae in hot water travertine crusts, Rapolano Terme, Italy. *Sedimentology*, 39: 1067–1079.
- [11] Hancock, P. L., Chalmers, R. M. L., Altunel, E., C, and Akir, Z (1999) Travitonics: using